

بهبود دقیق مدل انتشار خطای ناوبری اینرسی به منظور افزایش کارایی سیستم ناوبری تلفیقی

ایوب عبدالی حسین آبادی^۱، محمد باقر منهاج^۲، سید علی ظهیری پور^۳

۱ دانشجوی دکتری، دانشکده مهندسی برق، دانشگاه صنعتی امیرکبیر، تهران

۲ استاد، دانشکده مهندسی برق، دانشگاه صنعتی امیرکبیر، تهران

۳ استادیار، دانشکده مهندسی برق و کامپیوتر، دانشگاه کاشان، کاشان، کاشان، ir.zahiri@alumni.iust.ac.ir

تاریخ دریافت: ۹۸/۰۸/۲۴

تاریخ پذیرش: ۹۹/۰۳/۰۶

چکیده

یکی از موضوعاتی که امروزه در حوزه ناوبری از اهمیت ویژه‌ای برخوردار است، استفاده از معادلات انتشار خطای ناوبری به منظور تلفیق خروجی یک سیستم ناوبری اینرسی با یک اندازه‌گیری بیرونی جهت استفاده توأم از مزایای هر دو مکانیزم ناوبری اینرسی و اندازه‌گیری خارجی است. مطالعه تحقیقات گذشته نشان می‌دهد که معادلات انتشار خطای عموماً در دستگاه جغرافیایی استخراج شده که می‌تواند نقاط ضعفی داشته باشد. در این مقاله ضمن بیان چگونگی استخراج معادلات انتشار خطای در دستگاه مماسی، به صورت تحلیلی نشان داده شده است که این معادلات در مقایسه با دستگاه جغرافیایی نه تنها سادگی بیشتری دارند بلکه دقیق‌تری نیز در توصیف انتشار خطای ناوبری اینرسی و در نتیجه افزایش کارایی سیستم ناوبری تلفیقی دارند. در پایان، شبیه‌سازی‌هایی در دو حالت استفاده از مدل انتشار خطای در دستگاه مماسی و معادلات انتشار خطای در دستگاه جغرافیایی با لحاظ کردن مقادیر فرضی برای شتابها و سرعت‌های زاویه‌ای و خطای تصادفی سنسورهای یک نمونه IMU واقعی، انجام شده است. نتایج شبیه‌سازی‌های انجام شده نیز صحت افزایش دقیق مدل انتشار خطای پیشنهادی این مقاله را تأیید می‌کنند.

واژگان کلیدی

ناوبری اینرسی، ناوبری تلفیقی، انتشار خطای ناوبری، دستگاه مماسی، دستگاه جغرافیایی.

۱. مقدمه

۲. نسبت به زمین ثابت است.
۳. محورهای آن در نقطه مرجع (در ابتدا) هم‌راستا با محورهای دستگاه جغرافیایی هستند. سپس محورها جهت اولیه خود را حفظ می‌کنند، ولی دستگاه، همراه زمین شروع به چرخش می‌کند.

در این مقاله، چگونگی استخراج معادلات انتشار خطای ناوبری^۱ اینرسی در دستگاه مماسی^۲ و مقایسه آن با دستگاه جغرافیایی^۳، مورد بررسی قرار می‌گیرد. دستگاه مختصات مماسی به دستگاهی گفته می‌شود که دارای ویژگی‌های [۱] زیر است:

۱. مرکز آن یک نقطه مرجع مناسب، روی زمین است.

$$\dot{v}_e^t = R_b^t f^b - 2\Omega_{ie}^t v_e^t + g^t \quad (2)$$

$$\dot{R}_b^t = R_b^t (\Omega_{ib}^b - \Omega_{ie}^b) \quad (3)$$

در معادلات فوق، p^t و R_b^t به ترتیب بیانگر موقعیت در دستگاه مماسی، سرعت نسبت به زمین در دستگاه مماسی و ماتریس تبدیل از دستگاه بدنی^۹ به دستگاه مماسی است. f^b و Ω_{ib}^b به ترتیب نشان‌دهنده شتاب ناشی از نیروهای تماسی^{۱۰} در دستگاه بدنی و سرعت زاویه‌ای دستگاه بدنی نسبت به اینرسی در دستگاه بدنی است. Ω_{ie}^t ماتریس‌های پادمتریانی^{۱۱} هستند که از عناصر دو بردار ω_{ie}^t و ω_{ie}^b تشکیل می‌شوند. این دو بردار نشان‌دهنده سرعت دوران دستگاه زمینی نسبت به اینرسی به ترتیب در دو دستگاه مماسی و بدنی می‌باشند. اگر عناصر دو بردار فوق به صورت زیر نشان داده شود:

$$\omega_{ie}^t = \begin{bmatrix} \omega_{ie1}^t \\ \omega_{ie2}^t \\ \omega_{ie3}^t \end{bmatrix}, \quad \omega_{ie}^b = \begin{bmatrix} \omega_{ie1}^b \\ \omega_{ie2}^b \\ \omega_{ie3}^b \end{bmatrix} \quad (4)$$

روابط زیر حاصل خواهد شد:

$$\Omega_{ie}^t = (\omega_{ie}^t \times) = \begin{bmatrix} 0 & -\omega_{ie3}^t & \omega_{ie2}^t \\ \omega_{ie3}^t & 0 & -\omega_{ie1}^t \\ -\omega_{ie2}^t & \omega_{ie1}^t & 0 \end{bmatrix} \quad (5)$$

$$\Omega_{ie}^b = (\omega_{ie}^b \times) = \begin{bmatrix} 0 & -\omega_{ie3}^b & \omega_{ie2}^b \\ \omega_{ie3}^b & 0 & -\omega_{ie1}^b \\ -\omega_{ie2}^b & \omega_{ie1}^b & 0 \end{bmatrix} \quad (6)$$

۳. آنالیز خطای

با توجه به آن‌که هنگام استفاده از معادلات ناوبری، به جای f^b از خروجی کالیبره شده شتاب سنجها (\tilde{f}^b) و به جای Ω_{ib}^b از خروجی کالیبره شده ژایروها ($\tilde{\Omega}_{ib}^b$) استفاده شده و این مقادیر، خود دارای خطاهای سیستماتیک ناشی از فرایند کالیبراسیون و تصادفی^{۱۲} ناشی از نویز و دریفت سنسورها هستند، روابط زیر تعریف می‌شوند:

$$\delta f^b = \tilde{f}^b - f^b \quad (7)$$

$$\delta \Omega_{ib}^b = \tilde{\Omega}_{ib}^b - \Omega_{ib}^b \quad (8)$$

وجود خطای در Ω_{ib}^b ، معادله سوم ناوبری را تحت تأثیر قرار داده و باعث ایجاد خطای در محاسبه R_b^t می‌گردد. اگر مقدار محاسبه شده این ماتریس با \hat{R}_b^t نشان داده شود، رابطه زیر حاصل خواهد شد:

$$\dot{\hat{R}}_b^t = \hat{R}_b^t (\tilde{\Omega}_{ib}^b - \tilde{\Omega}_{ie}^b) \quad (9)$$

یکی از مهم‌ترین و متداول‌ترین کاربردهای معادلات انتشار خطای در پژوهش‌های متعدد، استفاده از آن‌ها در فیلتر کالمون^{۱۳} است [۱۰-۱۲]، تا عمل تلفیق^{۱۴} خروجی سیستم ناوبری اینرسی با یک اندازه‌گیری بیرونی به منظور افزایش دقت ناوبری صورت گیرد [۱۲-۱۱]. این اندازه‌گیری بیرونی به صورت متداول توسط سیستم موقعیت‌یاب جهانی^{۱۵}، صورت می‌گیرد [۱۵-۱۳]. مرور پژوهش‌های گذشته در این حوزه نشان می‌دهد که معادلات انتشار خطای ناوبری در دستگاه‌های زمینی^۷ یا اینرسی^۸ [۲۰] استخراج شده و مورد استفاده قرار گرفته است.

موضوعات به روز در حوزه مدل انتشار خطای شامل ارائه تکنیک‌های نوین ریاضی استخراج این معادلات [۲۱]، ارائه مدل‌های انتشار خطای ناشی از عواملی غیر از خطای سنسورها، مانند خطای ناشی از نصب سنسورها در ساختار مکانیکی مورد نظر [۲۲]، احترافات کانال عمودی [۲۳]، حالت اولیه [۲۴]، زوایای ناهمراستایی سنسورها [۲۵]، زوایای اویلر (وضعیت) [۲۶] یا خطای ناشی از ترکیبی از عوامل مختلف [۲۷-۲۸] است.

با بررسی تحقیقات گذشته، مشاهده می‌شود که در برخی از آن‌ها از مدل خطی شده [۲۹-۳۰] و در برخی دیگر از مدل غیرخطی معادلات انتشار خطای [۲۷] استفاده شده است. باید توجه داشت که با انجام خطی‌سازی، از دقت معادلات انتشار خطای کاسته می‌شود. مرور این تحقیقات نشان می‌دهد که به صورت خاص، مقایسه‌ای به صورت تحلیلی و همچنین شبیه‌سازی در مورد دقت خطی شده معادلات انتشار خطای در دستگاه‌های مختلف انجام نشده است.

در این پژوهش، ضمن استخراج معادلات انتشار خطای در دستگاه مماسی، نشان می‌دهیم که خطی شده این معادلات علاوه بر سادگی بیشتر نسبت به مدل خطی انتشار خطای در فریم جغرافیایی، دقت بالاتری نیز در توصیف انتشار خطای یک سیستم ناوبری اینرسی دارد.

۲. معادلات ناوبری در دستگاه مماسی

با توجه به تعریف دستگاه مماسی، موقعیت جسم در این دستگاه با انتگرال‌گیری از سرعت جسم نسبت به زمین به دست می‌آید. سایر معادلات با استفاده از روابط کلی ناوبری به صورت زیر به دست می‌آید [۲۰]:

$$\dot{p}^t = v_e^t \quad (1)$$

$$\dot{p}^t + \delta \dot{p}^t = v_e^t + \delta v_e^t \quad (18)$$

با استفاده از روابط (۱۸) و (۱۹)، رابطه (۱۹) حاصل می‌شود:

$$\delta \dot{p}^t = \delta v_e^t \quad (19)$$

با استفاده از روابط (۷)، (۱۱)، (۱۲)، (۱۵) و (۱۶) رابطه زیر حاصل می‌شود:

$$\dot{v}_e^t + \delta \dot{v}_e^t = (I - E^t)R_b^t(f^b + \delta f^b) - 2(\Omega_{ie}^t + \delta \Omega_{ie}^t)(v_e^t + \delta v_e^t) + g^t \quad (20)$$

با صرف نظر از ترمهای غیرخطی مت Shank از (۲۰)، $\delta v_e^t \delta \Omega_{ie}^t$ و استفاده از رابطه (۲)، رابطه (۲۰) را می‌توان به صورت $E^t \delta f^b$ زیر نوشت:

$$\dot{\delta v}_e^t = -2\delta \Omega_{ie}^t v_e^t - 2\Omega_{ie}^t \delta v_e^t - E^t f^t + R_b^t \delta f^b \quad (21)$$

در اینجا لازم است، $\delta \Omega_{ie}^t$ به صورت تابعی از خطای محاسباتی موقعیت، سرعت و وضعیت به دست آورده شود. در بخش پیوست، نشان داده شده است:

$$\omega_{ie}^t = \begin{bmatrix} \cos(la) \cos(az) \omega_{ie} \\ \sin(la) \sin(az) \omega_{ie} \\ \sin(la) \omega_{ie} \end{bmatrix} \quad (22)$$

که در آن، la و az به ترتیب، عرض جغرافیایی^۳ و آزیموت^۴ نقطه پرتاب می‌باشد و $\omega_{ie} = 15^\circ/h$ ، معرف سرعت دوران زمین است. با توجه به رابطه (۲۲)، می‌توان نوشت:

$$\delta \omega_{ie}^t = 0 \quad (23)$$

و لذا:

$$\delta \Omega_{ie}^t = 0 \quad (24)$$

ترم $-E^t f^t$ در رابطه (۲۱)، به صورت زیر قابل بیان است:

$$-E^t f^t = -(\varepsilon^t \times) f^t = (f^t \times) \varepsilon^t \quad (25)$$

با استفاده از روابط (۲۱)، (۲۴) و (۲۵)، رابطه زیر حاصل می‌شود:

$$\delta \dot{v}_e^t = -2\Omega_{ie}^t \delta v_e^t + (f^t \times) \varepsilon^t + R_b^t \delta f^b \quad (26)$$

با استفاده از روابط (۸)، (۹) و (۱۶) نیز خواهیم داشت:

$$-\dot{E}^t R_b^t + (I - E^t) \dot{R}_b^t = (I - E^t) R_b^t (\Omega_{ib}^b - \Omega_{ie}^b + \delta \Omega_{ib}^b - \delta \Omega_{ie}^b) \quad (27)$$

لازم به ذکر است که محاسبه Ω_{ie}^b به منظور استفاده در الگوریتم ناوبری، خود متأثر از خطای محاسباتی R_b^t بوده و لذا با $\hat{\Omega}_{ie}^b$ نشان داده شده است:

$$\delta \Omega_{ie}^b = \hat{\Omega}_{ie}^b - \Omega_{ie}^b \quad (10)$$

وجود خطا در f^b و همچنین R_b^t که مربوط به مرحله قبل است، معادله دوم ناوبری را تحت تأثیر قرار داده و باعث ایجاد خطای در محاسبه v_e^t می‌گردد. اگر مقدار محاسبه شده این بردار با \hat{v}_e^t نشان داده شود، رابطه زیر حاصل خواهد شد:

$$\dot{\hat{v}}_e^t = \hat{R}_b^t \tilde{f}^b - 2\hat{\Omega}_{ie}^t \hat{v}_e^t + g^t \quad (11)$$

لازم به ذکر است که بررسی خطای محاسباتی در تعیین Ω_{ie}^t در بخش بعد بررسی می‌گردد. در حال حاضر مقدار محاسبه شده این ماتریس در رابطه فوق با $\hat{\Omega}_{ie}^t$ بیان می‌گردد.

$$\delta \Omega_{ie}^t = \hat{\Omega}_{ie}^t - \Omega_{ie}^t \quad (12)$$

وجود خطا در محاسبه v_e^t که مربوط به مرحله قبل است، معادله اول ناوبری را تحت تأثیر قرار داده و باعث ایجاد خطای در محاسبه p^t می‌گردد. اگر مقدار محاسبه شده این بردار با \hat{p}^t نشان داده شود، رابطه زیر حاصل خواهد شد:

$$\dot{p}^t = \hat{v}_e^t \quad (13)$$

اگر میزان انحراف مقادیر محاسبه شده موقعیت و سرعت (\hat{p}^t و \hat{v}_e^t) از مقادیر واقعیشان (p^t و v_e^t) با نماد Δ نمایش داده شود، روابط زیر حاصل می‌شوند:

$$\delta p^t = \hat{p}^t - p^t \quad (14)$$

$$\delta v_e^t = \hat{v}_e^t - v_e^t \quad (15)$$

همچنین از مرجع [۲۰] رابطه زیر استخراج شده است:

$$\dot{R}_b^t = (I - E^t) R_b^t \quad (16)$$

که در آن، E^t یک ماتریس پادمتریارن مت Shank از خطاهای محاسبه وضعیت در دستگاه مماسی به صورت زیر است:

$$E^t = (\varepsilon^t \times) = \begin{bmatrix} 0 & -\varepsilon_3^t & \varepsilon_2^t \\ \varepsilon_3^t & 0 & -\varepsilon_1^t \\ -\varepsilon_2^t & \varepsilon_1^t & 0 \end{bmatrix} \quad (17)$$

که $\varepsilon^t = \begin{bmatrix} \varepsilon_1^t \\ \varepsilon_2^t \\ \varepsilon_3^t \end{bmatrix}$ ، بیانگر بردار خطای محاسبه وضعیت در دستگاه مماسی است.

۴. محاسبه معادلات انتشار خطای موقعیت، سرعت و وضعیت

با استفاده از روابط (۱۳)، (۱۴) و (۱۵) رابطه زیر بدست خواهد آمد:

$$\dot{p}^n = \begin{bmatrix} \frac{v_n}{R_M + h} \\ \frac{v_e}{\cos(\theta)(R_N + h)} \\ -v_d \end{bmatrix} \quad (40)$$

$$\dot{v}_e^n = R_b^n f^b - (\Omega_{en}^n + 2\Omega_{ie}^n)v^n + g^n \quad (41)$$

$$\dot{R}_b^n = R_b^n (\Omega_{ib}^b - \Omega_{in}^b) \quad (42)$$

که در آن، R_M و R_N ساعهای زمین بیضوی ۱۴، \emptyset و h به ترتیب، عرض جغرافیایی و ارتفاع جسم از سطح زمین می‌باشد. سایر پارامترها با توجه به شباهت آن‌ها با پارامترهای بخش دو، قابل تشخیص می‌باشند. روابط فوق و دسته معادلات (۱)، (۲) و (۳) در نظر گرفته شود.

تفاوت قابل ملاحظه‌ای بین معادله (۱) و معادله نظیر آن یعنی (۴۰) به چشم می‌خورد. همان‌طور که مشاهده می‌شود، رابطه (۴۰) نسبت به موقعیت در دستگاه جغرافیایی، غیرخطی است. این امر موجب می‌شود که در استخراج معادلات خطی انتشار خطا، مجبور به یک فرایند خطی‌سازی گردیم که نتیجه آن کاهش دقت در توصیف چگونگی انتشار خطا خواهد بود. حال آن‌که با توجه به رابطه (۱)، به دلیل عدم وجود ارتباط غیرخطی، هیچ‌گونه تقریبی در استخراج سه معادله اول انتشار خطا وجود نخواهد داشت. یکی دیگر از پیامدهای عدم ارتباط غیرخطی، سادگی چشمگیر سه معادله اول انتشار خطا در فریم پیشنهادی نسبت به فریم جغرافیایی است که کار با آن را آسان‌تر می‌کند.

با مقایسه معادلات (۲) و نظیر آن یعنی (۴۱)، نیز تفاوت مهمی دیده می‌شود. برای استخراج معادلات انتشار خطا در (۴۱)، علاوه بر احتیاج به Ω_{ie}^n و Ω_{en}^n ، نیازمند محاسبه $\delta\Omega_{en}^n$ و $\delta\Omega_{ie}^n$ نیز هستیم که توابع پیچیده‌ای بوده و یک فرایند خطی‌سازی را نیز تحمیل می‌کند که خود باعث کاهش دقت است. حال آن‌که در معادله (۲)، فقط به Ω_{ie}^t نیاز می‌باشد و همان‌طور که در محاسبات قبلی نشان داده شد $\delta\Omega_{ie}^t = 0$. با توجه به توضیحات فوق، در این بخش از معادلات انتشار خطای فریم پیشنهادی نیز، علاوه بر سادگی بیشتر، دقت بالاتری خواهد داشت.

سرانجام، روابط (۳) و (۴۲) با یکدیگر مقایسه می‌شوند. در این بخش نیز، هنگام محاسبه معادلات انتشار خطا در دستگاه جغرافیایی، نیازمند $\delta\omega_{in}^n$ می‌باشد که علاوه بر پیچیدگی محاسباتی نیازمند خطی‌سازی و به دنبال آن کاهش دقت خواهد بود. حال آن‌که در مورد فریم مماسی، $\delta\omega_{ie}^b$ مورد نیاز است که محاسبه آن ساده بوده و احتیاجی به خطی‌سازی نیز ندارد.

با استفاده از رابطه (۳)، رابطه (۲۸) بدست می‌آید:

$$-\dot{E}^t R_b^t = (I - E^t) R_b^t (\delta\Omega_{ib}^b - \delta\Omega_{ie}^b) \quad (28)$$

با صرف نظر از ترم‌های غیرخطی مشکل از $E^t \delta\Omega_{ib}^b$ ، رابطه ذیل نوشته می‌شود:

$$\dot{E}^t = -R_b^t (\delta\Omega_{ib}^b - \delta\Omega_{ie}^b) R_t^b \quad (29)$$

رابطه ماتریسی (۲۹) به صورت برداری زیر نیز قابل بیان است:

$$\dot{\epsilon}^t = -R_b^t (\delta\omega_{ib}^b - \delta\omega_{ie}^b) \quad (30)$$

برای محاسبه $\delta\omega_{ie}^b$ به صورت زیر عمل می‌شود.

اگر مقدار محاسبه شده ω_{ie}^b با $\hat{\omega}_{ie}^b$ نشان داده شود، رابطه ذیل حاصل خواهد شد:

$$\hat{\omega}_{ie}^b = \hat{R}_t^b \omega_{ie}^t \quad (31)$$

و با یک جایگذاری ساده در رابطه (۳۱):

$$\omega_{ie}^b + \delta\omega_{ie}^b = R_t^b (I + E^t) \omega_{ie}^t \quad (32)$$

با ساده‌سازی رابطه فوق:

$$\delta\omega_{ie}^b = R_t^b E^t \omega_{ie}^t = R_t^b (\epsilon^t \times) \omega_{ie}^t \\ = -R_t^b (\omega_{ie}^t \times) \epsilon^t \quad (33)$$

به بیان دیگر:

$$\delta\omega_{ie}^b = -R_t^b \Omega_{ie}^t \epsilon^t \quad (34)$$

با استفاده از روابط (۳۰) و (۳۴)، رابطه زیر بدست می‌آید:

$$\dot{\epsilon}^t = -\Omega_{ie}^t \epsilon^t - R_b^t \delta\omega_{ib}^b \quad (35)$$

۴-۱. بیان معادلات انتشار خطای دستگاه مماسی به صورت فضایی حالت

طابیق تعریف رابطه (۳۶)، رابطه (۳۷) حاصل خواهد شد:

$$X = [\delta p^t \ \delta v_e^t \ \epsilon^t]^T, u = [\delta f^{bt} \ \delta \omega_{ib}^{bt}]^T \quad (36)$$

$$\dot{X} = AX + Bu \quad (37)$$

که در آن:

$$A = \begin{bmatrix} 0 & I & 0 \\ 0 & -2\Omega_{ie}^t & (\epsilon^t \times) \\ 0 & 0 & -\Omega_{ie}^t \end{bmatrix} \quad (38)$$

$$B = \begin{bmatrix} R_b^t & 0 \\ 0 & -R_b^t \end{bmatrix} \quad (39)$$

۵. مقایسه تحلیلی روش پیشنهادی و روش متداول

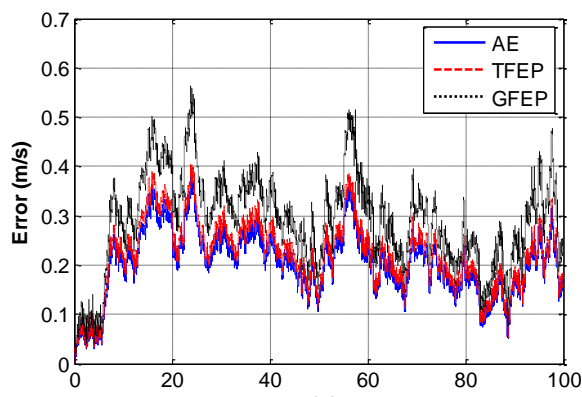
معادلات ناوبری در فریم متداول جغرافیایی برگرفته از [۲۰] صفحات ۱۲۶ الی ۱۳۱، به صورت زیر قابل بیان است:

جغرافیایی خطا انتشار GFEP

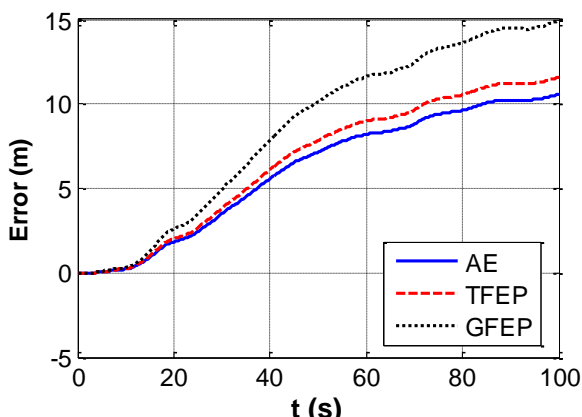
نمایش داده شده است.

در دستگاه مماسی:

مشابه فریم جغرافیایی، مراحل ۱ تا ۳ انجام گرفته و مرحله ۴ با استفاده از مدل مستخرج از این مقاله انجام شده و نتایج حاصل از آن در شکل‌های (۱) تا (۴) با عنوان TFEP مخفف Tangent Frame Error Propagation رسم شده است. همان‌طور که نتایج شبیه‌سازی‌ها به وضوح نشان می‌دهند، معادلات انتشار خطا در فریم مماسی، دقت بالاتری در توصیف انتشار خطا داشته و انطباق خوبی بین خطاهای واقعی و خروجی مدل وجود دارد. در مورد فریم جغرافیایی، مشاهده می‌شود که خطای واقعی چه در بخش سرعت و چه در بخش موقعیت، از خروجی مدل فاصله بیشتری داشته و در نتیجه، استفاده از آن در ناوبری تلفیقی باعث ایجاد خطاهای بیشتر خواهد شد.



شکل ۱. مقایسه نرم خطای بردار سرعت واقعی با خطای مستخرج از مدل‌های انتشار خطاهای



شکل ۲. مقایسه خطای موقعیت واقعی راستای اول با خطای مستخرج از مدل‌های انتشار خطاهای

۶. نتایج شبیه‌سازی

به منظور صحه‌گذاری نتایج تحلیلی به دست آمده از بخش قبل، یک نمونه شبیه‌سازی برای مقایسه دقت مدل‌های انتشار خطا در فریم‌های جغرافیایی و مماسی انجام گرفته است.

مقادیر واقعی شتاب و سرعت زاویه‌ای در دستگاه بدنی، به صورت فرضی زیر مقداردهی شده‌اند:

$$f^b = \begin{bmatrix} \sin(t) \\ 2\sin(t) \\ 3\sin(t) \end{bmatrix}, \Omega_{lb}^b = \begin{bmatrix} \cos(t) \\ 2\cos(t) \\ 3\cos(t) \end{bmatrix}$$

برای اجرای شبیه‌سازی و امکان انجام مقایسه به صورت زیر عمل شده است.

در دستگاه جغرافیایی:

ابتدا، الگوریتم ناوبری در این فریم، بدون در نظر گرفتن خطاهای سنسورها، انجام گرفته و نتایج ذخیره شده است.

سپس همین الگوریتم، با در نظر گرفتن خطای تصادفی سنسورها، اجرا شده و نتایج آن ذخیره شده است. مدل در نظر گرفته شده برای خطای تصادفی سنسورها شامل نویز و دریفت برگرفته از IMU 3DM-GX3-25 به صورت زیر است:

چگالی خطای تصادفی (نویز و دریفت) شتاب‌سنجها برابر $0.016 \frac{\mu g}{\sqrt{Hz}}$ (معادل انحراف میار m/s^2)

چگالی خطای تصادفی (نویز و دریفت) ژیروسکوپ‌ها برابر $0.03 \frac{rad}{\sqrt{Hz}}$ (معادل انحراف میار s/rad)

اختلاف خروجی‌های مراحل ۱ و ۲ به عنوان خطای واقعی، ذخیره شده و برای پرهیز از زیاده نویسی، به عنوان نمونه نرم خطای بردار سرعت در شکل (۱) و خطای موقعیت سه راستا در شکل‌های (۲)، (۳) و (۴) با عنوان AE مخفف Actual Error نمایش داده شده است. لازم به یادآوری است که به منظور جلوگیری از بروز اثر خطای ناشی از شرایط اولیه، شرایط اولیه مراحل ۱ و ۲، یکسان در نظر گرفته شده است. همچنین، بیان تمامی بردارها در دستگاه اینرسی انجام شده است تا امکان مقایسه وجود داشته باشد.

مدل انتشار خطای فریم جغرافیایی، برگرفته از [۳۱] صفحه ۱۷۹، شبیه‌سازی شده و نرم خطای بردار سرعت در شکل (۱) و خطای موقعیت سه راستا در شکل‌های (۲)، (۳) و (۴) با عنوان

مماسی، به دلیل تقریب‌های کمتری که هنگام استخراج آن زده شده است، ضمن سادگی بیشتر با دقت بالاتری خطای ناوبری را توصیف می‌کند. بنابراین، هنگام تلفیق INS با یک مرجع پیروزی مدلی با قابلیت اطمینان بالاتر بوده و لذا در بهبود دقت سیستم ناوبری تلفیقی، تأثیر مستقیم خواهد داشت.

پیشنهاد اولی که برای کارهای آتی می‌توان ارائه کرد آن است که معادلات خطا در دستگاه‌های دیگر نیز پس از استخراج، خطی‌سازی شده و از نظر دقت توصیف خطای ناوبری را در صورت تحلیلی و شبیه‌سازی مقایسه گردد. پیشنهاد دیگر آن است که اثر عوامل دیگر بروز خطای مانند نحوه نصب سنسورها، زوایای اویلر، حالت اولیه و ... نیز در استخراج مدل خطی انتشار خطای لحاظ گردد و عمل تحلیل و مقایسه در حضور آن‌ها صورت گیرد.

۸. پیوست

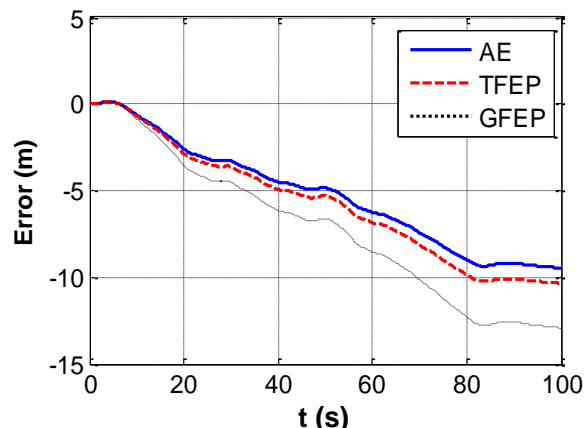
برای محاسبه ω_{ie}^t ابتدا R_e^t را محاسبه می‌کنیم. با توجه به تعاریف فریم‌های اینرسی (i) و زمینی (e)، خواهیم داشت:

$$R_e^t = (R_i^e R_t^i)^T = \begin{bmatrix} \cos E & -\sin E & 0 \\ \sin E & \cos E & 0 \\ 0 & 0 & 1 \end{bmatrix} * \begin{bmatrix} -\sin(la) \cos(az) & -\sin(la) \sin(az) & \cos(la) \\ \sin(az) & -\cos(az) & 0 \\ \cos(la) \cos(az) & \sin(la) \sin(az) & \sin(la) \end{bmatrix}^T = \begin{bmatrix} * & * & \cos(la) \cos(az) \\ * & * & \sin(la) \sin(az) \\ * & * & \sin(la) \end{bmatrix}$$

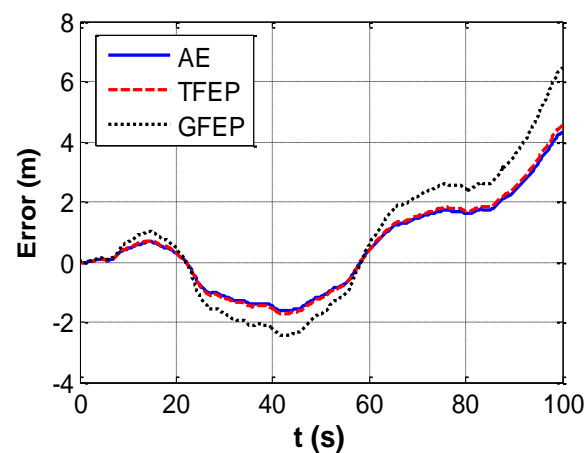
که در آن، la و az به ترتیب عرض، طول و آزیمут نقطه مرجع، می‌باشد.

بنابراین:

$$\omega_{ie}^t = R_e^t \omega_{ie}^e = \begin{bmatrix} * & * & \cos L \cos A \\ * & * & \sin L \sin A \\ * & * & \sin L \end{bmatrix} \begin{bmatrix} 0 \\ 0 \\ \omega_{ie} \end{bmatrix} = \begin{bmatrix} \cos(la) \cos(az) \omega_{ie} \\ \sin(la) \sin(az) \omega_{ie} \\ \sin(la) \omega_{ie} \end{bmatrix}$$



شکل ۳. مقایسه خطای موقعیت واقعی راستای دوم با خطای مستخرج از مدل‌های انتشار خطای ناوبری



شکل ۴. مقایسه خطای موقعیت واقعی راستای سوم با خطای مستخرج از مدل‌های انتشار خطای ناوبری

۷. نتیجه‌گیری

هدف اولیه این مقاله بهبود کارایی سیستم ناوبری تلفیقی^{۱۵} از طریق افزایش دقت مدل انتشار خطای ناوبری است. در این مقاله معادلات خطی‌شده انتشار خطای ناوبری را در دستگاه مماسی استخراج شده و نقاط قوت آن را در مقایسه با معادلات خطی‌شده دستگاه جغرافیایی از طریق تحلیل و شبیه‌سازی بر شمرده شده است. همان‌طور که از نتایج تحلیلی و شبیه‌سازی‌ها پیداست، مدل انتشار خطای در فریم

۹. مأخذ

- [1] R. Kenneth, Sc. D. Britting, Inertial navigation System analysis, New York: Wiley, 1971.
- [2] R.G.Brown. Kalman filter modeling, In Proceedings of the 16th Annual Precise Time and Time Interval (PTTI) Applications and Planning Meeting, pp. 261–272, 1984
- [3] R.G. Brown, Integrated navigation systems and Kalman filtering: A perspective. Navigation, Journal of the Institute of Navigation, Vol. 19, No. 4, pp. 355–362, 1972
- [4] R. G. Brown, Y. C. Hwang, Introduction to random signals and applied Kalman filtering, Second Edition, New York: Wiley, 1992.
- [5] G. J. Geier, Delayed state Kalman filter equations for delta range measurement processing, Technical Report GPSPFP, Cambridge, 1976.

- [6] M. S. Grewal, A. P. Andrews, *Kalman Filtering: Theory and Practice using Matlab*, Second Edition, New York: Wiley, 2001.
- [7] P. Hwang, R. Brown, GPS navigation: Combining pseudorange with continuous carrier phase using a Kalman filter. *Navigation, Journal of the Institute of Navigation*, Vol. 37, No. 2, pp. 181–196, 1990.
- [8] C. W. Marquis, Integration of differential GPS and inertial navigation using a complementary Kalman filter, Master's thesis, Naval Postgraduate School, 1993.
- [9] D. Simon, *Optimal State Estimation: Kalman, H_∞ , and Nonlinear Approaches*, New York: Wiley, 2006.
- [10] A. Van Dierendonck, J. McGraw, and R. Brown, Relationship between Allan variances and Kalman filter parameters, In Proceedings of the 16th Annual Precise Time and Time Interval (PTTI) Applications and Planning Meeting, pp. 273–293, 1984.
- [11] Y. Yang, J. A. Farrell, Two antennas GPS-aided INS for attitude determination, *IEEE Transactions on Control Systems Technology*, Vol. 11, No. 6, pp.905–918, 2003.
- [12] C. W. Marquis, Integration of differential GPS and inertial navigation using a complementary Kalman filter, Master's thesis, Naval Postgraduate School, 1993.
- [13] F. Van Graas and M. Braasch, GPS interferometric attitude and heading determination: Initial flight test results. *Navigation: Journal of the Institute of Navigation*, Vol. 38, No. 4, pp.297–316, 1991.
- [14] A. Van Dierendonck, S. Russell, E. Kopitzke, M. Birnbaum, The GPS navigation message, *Navigation: Journal of the Institute of Navigation*, Vol. 25, No. 2, pp. 147-165, 1978.
- [15] D. Pietraszewski, J. Spalding, C. Viehweg, L. luft, U.S. Coast Guard differential GPS navigation field test findings, *Navigation: Journal of the Institute of Navigation*, Vol. 35, No. 1, pp. 55-72, 1988.
- [16] W. S. Widnall and P. A. Grundy, Inertial ninations system error models, Technical Report, Intermetrics Inc, 1973.
- [17] R. E. Mortenson, Strapdown guidance error analysis, *IEEE Transactions on Aerospace and Electronic Systems*, Vol. 10, No. 4, pp.451–457, 1994.
- [18] Y. F. Jiang, Y. P. Lin, Error estimation of INS ground aalignment through observability analysis, *IEEE Transactions on Aerospace and Electronic Systems*, Vol. 28, No. 1, pp.92–96, 1992.
- [19] R. G. Brown, D. J. Winger, Error analysis of an integrated inertial/Doppler-satellite system with continuous and multiple satellite coverage, Technical report, Engineering Research Institute, Iowa State University, January 1971.
- [20] C. Jekeli, *Inertial Navigation Systems with Geodetic Applications*, Walter de Gruyter Berlin, New York, 2001.
- [21] A. Barrau, S.Bonnabel, A Mathematical Framework for IMU Error Propagation with Applications to Preintegration, *IEEE International Conference on Robotics and Automation (ICRA)*, 2020
- [22] J. Zhang, J. Li, Y. Huang, C. Hu, K. Feng and X. Wei, Analysis and Compensation of Installation Errors for Rotating Semi-Strapdown Inertial Navigation System, *IEEE Access*, Vol. 7, pp. 101019-101030, 2019.
- [23] H. Xiong, D. Dai, Y. Zhao, X. Wang, J. Zheng, D. Zhan, An Analysis of the Attitude Estimation Errors Caused by the Deflections of Vertical in the Integration of Rotational INS and GNSS, Sensors, Vol.19, No. 7, 2019.
- [24] X. Zheng, N. Ma, C. Gao, W. Jing, Propagation mechanism analysis of navigation errors caused by initial state errors for long-range vehicles, *Aerospace Science and Technology*, Vol. 67, pp. 378-386, 2017
- [25] X. Liu, X. Xu, Y. Liu, L. Wang, A Method for SINS Alignment with Large Initial Misalignment Angles Based on Kalman Filter with Parameters Resetting, *Mathematical Problems in Engineering, Open Access*, Vol. 2014, 2014.
- [26] J. Li, P. Dang, Y. Li, B. Gu, A General Euler Angle Error Model of Strapdown Inertial Navigation Systems, *Applied Sciences*, Vol. 8, No. 1, 2018.
- [27] Z. Long-Jie, X. Xiao-fang, L. De-dong, W. Yan, Error Analysis of Strapdown Inertia Navigation System in Tactical Missiles, *Procedia Engineering*, Vol. 15, pp. 1456-1460, 2011
- [28] C. Huang, G. Yi, Q. Zeng, N. Yi, The establishment and analysis of the high-order error model of platform inertial navigation system in mobile conditions, *35th Chinese Control Conference (CCC)*, 2016.
- [29] X. Liu, J. Sima, Y. Huang, X. Liu, P. Zhang, A Simplified Kalman Filter for Integrated Navigation System with Low-Dynamic Movement, *Mathematical Problems in Engineering*, Vol. 2016, 2016.
- [30] H. Rahimi, A. A. Nikkhah, Improving the speed of initial alignment for marine strapdown inertial navigation systems using heading control signal feedback in extended Kalman filter, *International Journal of Advaced Robotics Systems*, Vol. 17, No. 1, 2020.
- [31] E. bekir, *Introduction to Modern Modern Navigation Systems*, World Scientific Publishing, Singapore, 2007.

پی‌نوشت

-
1. Navigation Error Propagation Equations
 2. Tangent Frame
 3. Geographic Frame
 4. Kalman Filter
 5. Integration
 6. Global Positioning System
 7. Earth Frame
 8. Inertial Frame
 9. Body Frame
 10. Contact Forces
 11. Asymmetric Matrixes
 12. Stochastic
 13. Latitude
 14. Azimuth
 15. Integrated Navigation System